

6 沿岸漂砂量の推定¹⁾について

京都大学大学院

榎木亨
村上正

1. 緒言

海浜の浸食、堆積は海浜の砂礫の移動によつておこる。この砂礫の移動は海水の運動または風の吹送に起因するが、汀線附近の移動はほとんどが海水の運動によつて行われる。砂礫の移動に最も影響のある碎波後の水が汀線と直角方向に運動するときと、汀線とある角をなして運動するときでは、砂礫の移動は趣をことにしてくる。すなわち、碎波の峯が汀線と平行のときは、分子子は汀線と直角方向に往復運動をするのみであつて、砂礫も汀線と直角方向にのみ移動するが、碎波の峯が汀線とある角をなしているときは沿岸流を発生し、それにともなつて沿岸漂砂がおこる。前者の砂礫の移動は海浜の断面形状を決定するもので、すでにある程度の解明が行われている。後者の汀線と平行方向の砂礫の移動、すなわち沿岸漂砂は、長期間にわたる海浜の浸食堆積に大きい影響を及ぼすものである。いま、ある地盤で運び込まれる漂砂の量が運び去られる量より大きいとそこに堆積がおこり、その逆のときは浸食があこるはずであるから、ある二地盤で漂砂量が推定できれば、それらの漂砂量の差として二地盤間の浸食、堆積を計算できるであろう。こうして意味から、この漂砂量と沖波の特性や碎波後の分子子の汀線方向の運動速度すなわち沿岸流速との相関関係を見出すとともに、宮津海岸、明石海岸などにおける実測によつて検証し、それから波エネルギーの沿岸成分と漂砂量の関係を求めて、実際海岸の漂砂量の推定に役立てようというのが、この研究の目的である。

2. 実験およびその結果

(1) 実験装置 実験に用いた水槽は京大防災研究所宇治川水理実験所の扇形水槽である、半径 18 m、弧長 35.3 m の扇形に、中央 10 m の海浜部がついている。波起し装置はアランジャー型のもので、中央から左右へ 45° づつ移動することができ、最大波高は、15 cm、周期は 0.3 sec. から 2 sec. まで無段变速できるようになっている。

計測装置¹⁾としては、波高、周期は電気抵抗式水位計で測定し、流速は電気的接点付プロペラ式流速計で測定し、その回転数を図-1 に示すような自記装置によつて自記させた。その検定曲線は図-2 に示すとおりである。漂砂の採集のために、扇形水槽の海浜部の中央から少し偏ったところに、沖に向って巾 20 cm、深さ 10 cm の溝を作り、その中へ長さ 30 cm、巾 20 cm、深さ 15 cm のブリキ罐を並べた。このブリキ罐には網目 5 mm の金網の蓋をして、一度二の罐に入つて

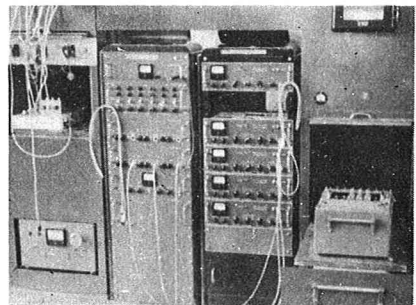


図-1 自記装置

砂が再び外へ出るのを防ぐようになら。この罐は、海浜が平衡状態に達するまで布で覆い、平衡に達した後に布をとることにしたが、そのときが海浜断面にほぼ等しくなるようにした。この方法では、底面滑動漂砂を採取できるが、浮遊漂砂の採取は十分ではない。しかし浮遊漂砂は滑動漂砂にくらべて非常に少ないので、これは無視することとした。

使用した砂は京都府網野海岸の砂で、粒径分布は図-3に示す通りであり、平均粒径は 0.418 mm 、級分係数 $\sqrt{d_{95}/d_{10}}$ は 1.26 である。

水深は水路のほぼ中央部の水位計付近で約 50 cm とするにしたが各実験ごとに精測した。

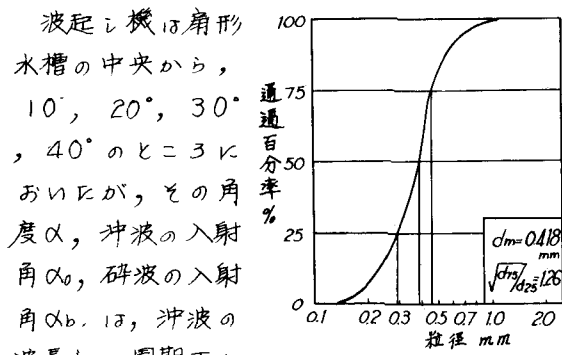


図-3 実験砂の
粒径分布

波起し機は扇形
水槽の中央から、
 $10^\circ, 20^\circ, 30^\circ$
 $, 40^\circ$ の二種類
あるが、その角度 α 、冲波の入射角 α_i 、碎波の入射角 α_b は、冲波の波長 L_0 、周期 T と表-1 のよう関係にある。この表

で碎波角の計算には碎波指標⁽²⁾を用いた。

(2) 沿岸流速とその分布 碎波が海浜とある角をなして砕けた場合の沿岸流速は、漂砂の移動量に重要な関係があり、その沿岸漂砂の移動量分布を支配するものと考えられていく。そこでこの沿岸流速を前記の電気接点付プロペラ流速計と浮子を用いて測定したが、図-4は波起し機の位置の中央からの角度 α が 30° の場合の実験結果を示したものである。この図からわかるように、浮子で測定した流速は沿岸流速のほぼ平均を与えている。また沿岸流速は Putnam, Munk および Traylor が運動量理論から導いた式によつて計算できるが、式中の水底の摩擦係数 K_f として、Inman および Quinn⁽⁴⁾ の実験式

$$K_f = 0.00404 V^{-3/2} \quad (\text{m-sec 単位})$$

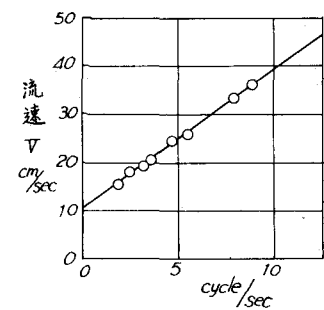


図-2 プロペラ式流速計
の検定曲線

波起し機 の角度 α	周期 $T(\text{sec})$	相当冲波 波高 $H_0'(\text{cm})$	相当冲波 波形勾配 H_0'/L_0	冲波の 入射角 d_o	碎波の 入射角 d_b
10°	0.80	13.12	0.1320	$10^\circ 0' 1''$	$9^\circ 20'$
	0.83	12.15	0.1130	$10^\circ 0' 5''$	$8^\circ 53'$
	0.84	10.81	0.0983	$10^\circ 0' 5''$	$8^\circ 24'$
	0.90	10.83	0.0860	$10^\circ 0' 8''$	$7^\circ 26'$
	0.97	9.23	0.0628	$10^\circ 1' 5''$	$6^\circ 55'$
	1.05	9.01	0.0524	$10^\circ 2' 9''$	$6^\circ 29'$
	1.11	8.05	0.0419	$10^\circ 4' 3''$	$6^\circ 03'$
	1.21	5.44	0.0239	$11^\circ 0' 8''$	$5^\circ 00'$
	20°	0.80	13.15	0.1320	$20^\circ 0' 4''$
		0.84	13.25	0.1210	$20^\circ 1' 1''$
		0.85	10.95	0.0978	$20^\circ 1' 5''$
		0.97	10.98	0.0746	$20^\circ 3' 7''$
		1.04	8.47	0.0501	$21^\circ 0' 2''$
		1.09	7.75	0.0418	$21^\circ 2' 1''$
		1.19	6.23	0.0283	$22^\circ 0' 9''$
		0.88	8.96	0.0741	$21^\circ 2' 4''$
		0.92	8.24	0.0580	$30^\circ 5' 2''$
		1.00	7.01	0.0449	$31^\circ 1' 2''$
		1.08	6.22	0.0342	$32^\circ 0' 1''$
		1.16	6.31	0.0301	$33^\circ 0' 6''$
		1.23	6.12	0.0259	$34^\circ 0' 3''$
		1.30	4.37	0.0166	$35^\circ 1' 4''$
30°	0.88	9.03	0.0750	$40^\circ 4' 2''$	$28^\circ 0' 6''$
	0.92	7.75	0.0586	$40^\circ 5' 5''$	$25^\circ 3' 2''$
	0.96	7.16	0.0497	$41^\circ 2' 3''$	$23^\circ 2' 9''$
	1.05	6.65	0.0387	$42^\circ 3' 2''$	$21^\circ 4' 7''$
	1.14	6.06	0.0298	$44^\circ 1' 1''$	$20^\circ 0' 0''$
	1.24	5.56	0.0232	$46^\circ 2' 3''$	$18^\circ 5' 0''$

表-1 実験に用いた波の特性

を用いるとつきのようになる。

$$V = \left[\left(\frac{1}{4} X^2 + Y \right)^{\frac{1}{2}} - \frac{1}{2X} \right]^2$$

ただし, $X = (646 H_b \cos \alpha_b) / T$, $Y = C \sin \alpha_b$,(2)

ここに H_b は碎波高, C は碎波点と汀線の間の海浜平均勾配, α_b は碎波点における波の峯と汀線のなす角, V は沿岸流速, T は波の周期である。しかし、上式によると、実験値よりも過大な流速を与えるようであつて、(1)式のように K_f を V だけの函数と考えずに、底質の移動、底質の粒径、波形勾配なども考慮してさらに研究することが必要であろう。

(3) 漂砂量の分布 汀線に直角な断面における沿岸漂砂量の分布は、汀線浸食の問題以外に防砂堤や導流堤などの計画に重要な資料を与えると考えられるが、これについてすでに Saville⁽³⁾ が無限に長い直線海岸に一方向から二種類の波形勾配の波をあてて実験し、海浜の断面と砂の移動量分布の関係を求めている。本実験では波起レーベルの角度を 4 種類にとり、それそれに伴って 6 ~ 8 種類の波形勾配の波をおこして漂砂の移動量を測定したが、その結果は図-5 のとおりである。これらの中を見ると、波形勾配が 0.050 以上の場合（暴風海浜）では、発生した沿岸砂州付近で漂砂量が最大となり、波形勾配がそれ以下になると漂砂量の最大点が次第に前浜部分の方に平行移行して、0.025 付近では完全に前浜部分に移ってしまう。そしてその分布状態も対称形から非対称形に変つてくる。前者の場合には沿岸流によつて外浜の底質が主として浮遊形式でとつて海岸と平行方向に移動する沿岸漂砂が卓越し、後者の場合には前浜の砂礫が最終碎波後の打上げ波および引き波による分子のジグザク運動とともに掃流形式でとつて移動する汀線漂砂が大きな影響を及ぼすであろうと思われる。このことは Saville の実験においても確かめられている。

著者ら⁽⁶⁾ は以前に汀線と直角に波を入射させて、汀線と直角方向に移動する漂砂量分布の実験を行つたが、その場合には波形勾配が大きいときに碎波点付近の沿岸砂州あたりで漂砂量が最大にするという現象は見ら

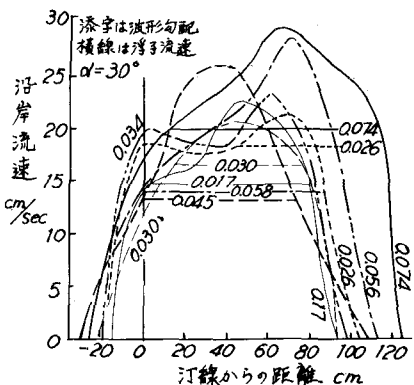


図-4 汀線からの距離と
沿岸流速分布 ($\alpha = 30^\circ$)

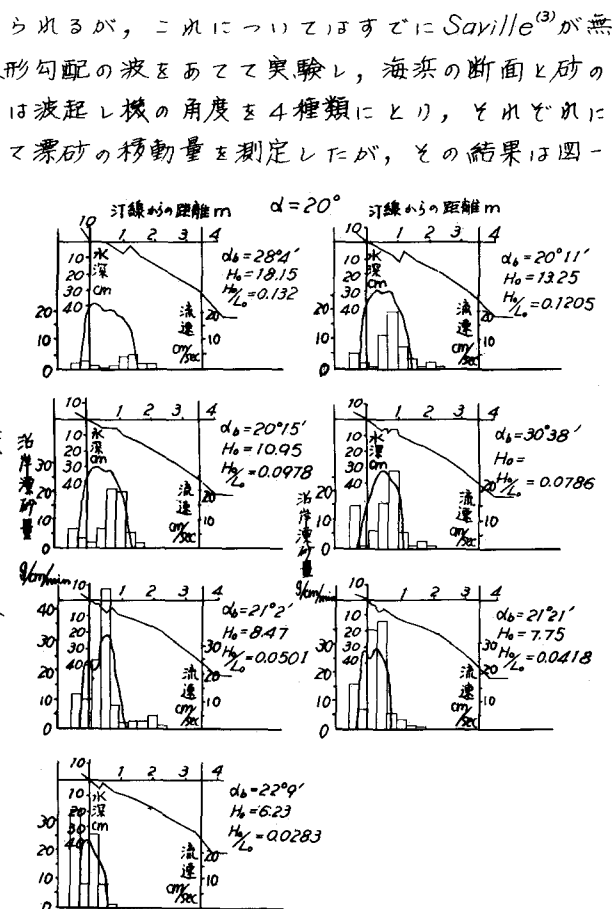


図-5 沿岸漂砂量の汀線と直角方向の分布
及び沿岸流速分布 ($\alpha = 20^\circ$)

れなかった。これは汀線に平行方向に移動する漂砂と汀線に直角方向に移動する漂砂との移動機構の相違によるものと看えられる。

図-5には沿岸流速分布も同時に記入したが、それによると波形勾配が大きいと最大流速の付近で最大漂砂量を示しているが、波形勾配が0.025付近に汀るとともに最大流速付近では最大漂砂量を示さず、もっと岸側すなわち前浜部分で最大漂砂量を示している。このことと前に述べた波形勾配によって沿岸漂砂と汀線漂砂の移動形式に相違ができる二つの説明とみなすのである。

(4) 漂砂移動帯 防砂堤はあらゆる性質の波に対して完全に漂砂を止めるようにする必要はない。その防砂堤の有効長さを決定するには、漂砂移動帯の巾を推定しなければならない。図-6は沿岸漂砂量

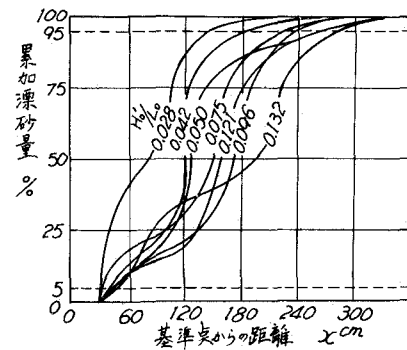


図-6 沿岸漂砂量の汀線と直角方向の分布の累加曲線

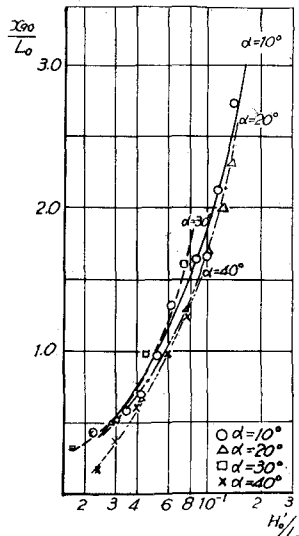


図-7 沿岸漂砂量90%の無次元区间長と波形勾配との関係

さらに掃流漂砂が顕著でなくなる水深を見出すことも海岸構造物の計画に重要なから、これらについて着目しては泉州海岸および京都府網野海岸で実測し、また汀線と直角方向の砂移動について実験を行つた。この実験で汀線方向の漂砂移動限界水深をもとめた結果は、図-8に示すようであつて；ほとんど以前の実験曲線の上にのることがわかつた。

(5) 破波角 沿岸流速および沿岸波エネルギーの計算に用いる破波角については実測も行つたが、無限長直線海岸では碎波指標とスネルの法則を用いて計算することができることわかった。

$$\frac{h_b}{L_0} = f(H_o/L_0), \quad C_o = \frac{\sin \alpha}{\sin \alpha_0} = \tanh 2\pi \frac{h_b}{L_0} \quad \cdots \cdots (3)$$

によって、 H_o/L_0 を与えて波の入射角 α_0 から碎波角 α_b をもとめる圖を前に発表しているが、

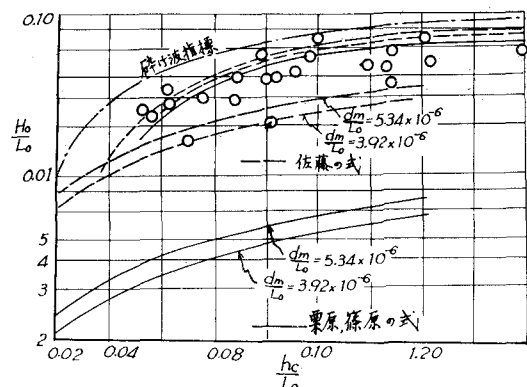


図-8 漂砂移動限界水深と波形勾配の関係

同様の計算を行つて碎波角をもとめ実測値と比較したのが図-9である。この図によると実測値は計算値の0.96倍となるが、この事実は計算値には底面の摩擦を無視しているためであろう。

3. 漂砂量の推定

(1) 波のエネルギーと漂砂量 沿岸漂砂量は波のエネルギー、波の入射角、底質、海浜勾配および沖波の特性などの諸要素に支配され、前節の研究をさらに発展させることによつて、適確な結論に到達することができよう。しかしながら、それらの関係が複雑なため現在までに確実な推定方法が確立されていない。しかしながらこれらの諸要素が漂砂量にどのようの影響を与えるかを明らかにするために若干の実験的研究が行なわれており⁽⁵⁾⁽⁸⁾⁽⁹⁾、例えは Saville⁽⁵⁾ はエネルギーも波の入射角とともに一定の場合の漂砂量が最大となる波形勾配は0.02~0.03であることを示し、また Johnson⁽⁹⁾ は入射角が30°~40°のときに漂砂量が最大となることを見出しが、こうして実験的研究は漂砂量に及ぼす最も重要な要素を決定するのに役立つている。著者⁽¹⁰⁾ はすでに孤立波理論を用いてこれらの諸要素の影響を明らかにし、その結果を考慮して碎波のエネルギーと漂砂量との関係を求めて、宮津海岸の実測結果を解明した。しかる孤立波理論を用いて碎波のエネルギーで処理した関係上、その取扱いも困難であったから、ここで Santa Barbara⁽¹¹⁾、Anaheim Bay⁽¹²⁾、Florida⁽¹³⁾ などで微小振幅理論を用いて処理しているのと同様の取扱いにより、著者らの実験結果および宮津、明石などの実測値を解析していくことにした。

微小振幅理論による波の平均エネルギーと漂砂量との関係式はつきのように表わされる。

$$Q_i = \frac{1}{2} E_i^m \quad \dots \dots \dots (4)$$

ここに ω は波数、 m は幕数、 Q_i は単位時間当たりの漂砂量、 E_i は海岸に沿つての単位長さ、単位時間当たりの波のエネルギーである。浅海波、とくにいそ波の部分の波の全エネルギー E は、次式で与えられる。

$$E = \frac{\rho \cdot H^2 \cdot L}{8}, \quad \text{ただし} \quad L = \frac{g T^2 \tanh \left(\frac{2 \pi h}{L} \right)}{2 \pi} \quad \dots \dots \dots (5)$$

ここで、 ρ は水の密度、 T は波の周期、 h は観測点の水深、 L 、 H は水深 h における波長、波高である。この全エネルギーのうちで前方に伝達されるものを E_f とすれば、

$$E_f = E \cdot n, \quad \text{ただし} \quad n = \frac{1}{2} \left[1 + \frac{4 \pi h / L}{\sinh (4 \pi h / L)} \right] \quad \dots \dots \dots (6)$$

となる。したがつて一連の波によって前方に運ばれる平均功率は

$$P = E \cdot n \cdot t \quad \dots \dots \dots (7)$$

であり、 t 秒間に前に運ばれるエネルギーは

$$E_{if} = P \cdot t = (E \cdot n / T) \cdot t \quad \dots \dots \dots (8)$$

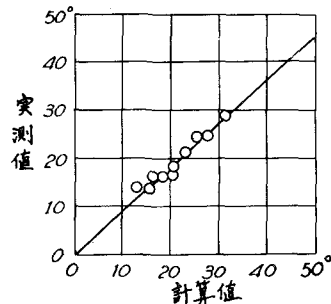


図-9 碎波角の実測値と
計算値の関係

となる。波のエネルギーの沿岸成分、すなわち沿岸砂移動を生じるに働くこの方向のエネルギー成分 E_i は、入射波エネルギーと海岸に近く波の角度の函数であつて、

$$E_i = E_{tf} \cdot \sin \alpha \cdot \cos \alpha \quad \cdots \cdots (9)$$

で表される。ここに α は観測点の波の峯と海岸のなす角である。

波形勾配が漂砂量に影響を及ぼすこと Saville の実験結果からも明らかであるが、本実験の結果からエネルギー一定の場合の Q_i と H_0/L_0 の関係を求めるところ-10 のようになる。

すなわち(4)

式の左は、

H_0/L_0 が

で影響され

ることがわ

かるから、

$Q_i = f(H_0/L_0) E_i^m$

……(10)

と書きあら

ためねば

なり。

図-11

と書きあら

ためねば

なり。

図-11

と書きあら

ためねば

なり。

と書きあら

ためねば

周期、波形勾配を
Sverdrup-Munk-Bretsch-

neider の Fetch Graph
からもとめ、これから

波エネルギーの沿岸成分 E_i を計算し、その E_i に対する Q_i を図-11から求めよ。この場合垂水海岸の年間最大移動量を推定する意味で、垂水海岸で漂砂量の最大限度を表わす式 $Q_i = 5 \times 10^{-5} E_i^{0.8}$ を用いることにした。こうしてちとめに垂水海岸における風向、風速と漂砂量の関係を示したもののが図-12である。附註、風の資料として、神戸海洋気象台で観測した昭和30年1月から12月までの1年間の各風向別風速頻度表と図-12を用いて垂水海岸

	E	ESE	SE	SSE	S	SSW	SW	WSW	W
	36.0	34.0	33.0	35.0	36.0	34.2	5.2	5.0	80.2

表-2 垂水における対岸距離 (km)

風向 風速 m/sec	W			WSW			SW			SSW		
	頻度	$Q_i \text{m}^3/\text{hr}$	$\sum Q_i \text{m}^3$	頻度	$Q_i \text{m}^3/\text{hr}$	$\sum Q_i \text{m}^3$	頻度	$Q_i \text{m}^3/\text{hr}$	$\sum Q_i \text{m}^3$	頻度	$Q_i \text{m}^3/\text{hr}$	$\sum Q_i \text{m}^3$
1	120	0.01	1.20	51	0.01	0.51	39	0.02	0.78	18	0.03	0.54
2	96	0.03	2.88	69	0.02	1.38	69	0.03	2.07	69	0.08	5.52
3	162	0.07	11.34	90	0.03	2.70	54	0.05	2.70	69	0.17	11.73
4	159	0.15	23.85	129	0.04	5.16	72	0.08	5.76	15	0.34	5.10
5	180	0.32	57.60	84	0.06	5.04	81	0.12	9.72	18	0.59	10.62
6	108	0.60	64.80	102	0.09	9.18	39	0.17	6.63	6	0.92	5.52
7	57	1.00	57.00	72	0.12	8.64	21	0.23	4.83	9	1.14	10.26
8	69	1.60	110.40	54	0.15	8.10	12	0.29	3.48	3	1.20	3.60
9	15	2.30	34.50	21	0.20	4.20	6	0.36	2.16			
10	33	3.10	102.50	21	0.25	5.25						
11	30	4.20	126.00	12	0.30	3.60						
12	12	5.20	62.40	6	0.36	2.16						
13				3	0.42	1.26						
14	6	7.40	44.40									
15												
16				3	0.53	1.59						
計			698.67			58.77			38.13			52.89

風向 風速 m/sec	SSE			SE			ESE			E		
	頻度	$Q_i \text{m}^3/\text{hr}$	$\sum Q_i \text{m}^3$	頻度	$Q_i \text{m}^3/\text{hr}$	$\sum Q_i \text{m}^3$	頻度	$Q_i \text{m}^3/\text{hr}$	$\sum Q_i \text{m}^3$	頻度	$Q_i \text{m}^3/\text{hr}$	$\sum Q_i \text{m}^3$
1	36	0.04	1.44	63	0.02	1.26	48	0.01	0.48	21	0.01	0.21
2	54	0.09	4.86	111	0.06	6.66	54	0.03	1.62	81	0.03	2.43
3	18	0.19	3.42	24	0.13	3.12	24	0.07	1.68	54	0.06	3.24
4	15	0.38	5.70	21	0.26	5.46	21	0.14	2.94	33	0.13	4.29
5	6	0.65	3.90	6	0.47	2.82	9	0.26	2.34	18	0.26	4.68
6							6	0.42	2.52	15	0.46	6.90
7										15	0.74	11.10
8										12	1.10	13.20
9										3	1.66	4.80
10												
11												
12										3	3.50	10.50
計			19.32			19.32			11.58			61.35

E方向へ ; 836.5 m³ W方向へ ; 1116 m³

表-3 垂水における各風向別風速、頻度及び年間沿岸漂砂量

の年間沿岸漂砂量をまとめると表-3のようである。

4. 結論

宮津海岸、明石海岸などで海岸浸食に関する実測を行ない、その都度その結果を発表してきたが、ここではその実測結果を確認するため、実験的・研究を進めた。実験室においては実際海岸におけるような潮位の変動、風向、風速の変化、底質の不均一などの障害が除かれ、漂砂量と波エネルギーの沿岸成分の関係について、波形勾配を考慮することによって、実験値と宮津海岸の実測値とがほとんど一致することがわかった。しかし、底質の粒径に対する考察は、今後の研究に残された問題であろう。

本研究によって沿岸漂砂量の汀線と直角方向の分布およびその区間内に漂砂の移動限界水深などが明確となりたが、沿岸流速およびその分布、流速分布と漂砂量分布との関係、地盤変化とともに伴う漂砂量の変化など構造物の計画設計に関する重要な問題については研究されねばならぬ幾多の問題を残している。しかし、波エネルギーの沿岸成分と漂砂量の関係が一応まとめられ、それによって漂砂の移動量が推定できることは、海岸の浸食、堆積問題のみならず、防砂堤の計画、漂砂の供給、人工養砂などの工学的问题に寄与するところが大きいと思う。

最後にこの研究に対する終始御指導を賜った石原教授、岩垣助教授にあわて実験に協力していただいた大阪学院学生小谷君、学部学生石田、村井両君に感謝するとともに、この研究は神戸市明石海峡調査委員会の事業の一部として、また実験は文部省科学試験研究費によつて行われたことを付記する。

参考文献

- (1). 京都大学防災研究所；宇治川水理実験所概要、創立五周年記念論文集、昭.31.11, pp. 303～316.
- (2). 土木学会海岸工学委員会誌；海岸工学 I, 昭.30.6, pp. 29
- (3). Putnam, J.A., Munk, W.H. and Traylor, M.A.; The Production of Longshore Currents, Trans. AGU, Vol. 30, No. 3, 1949, pp. 337～345.
- (4). Inman, D.L. and Quinn, W.H.; Currents in the Surfzone, Proc. 2nd. Conf. on Coastal Engg., 1951, pp. 24～36.
- (5). Saville, J.W.; Model Study of Sand Transport along an Infinitely Long Straight Beaches, Trans. AGU, Vol. 31, 1950, pp. 555～565.
- (6). 岩垣雄一、榎木 宏；海浜の平衡勾配と碎波による砂移動の実験、海岸工学講演会論文集、昭.30.11, p. 104.
- (7). 石原藤次郎、岩垣雄一、村上 正；明石海峡北岸の浸食について、海岸工学講演会論文集、昭.31.11, pp. 185～193.

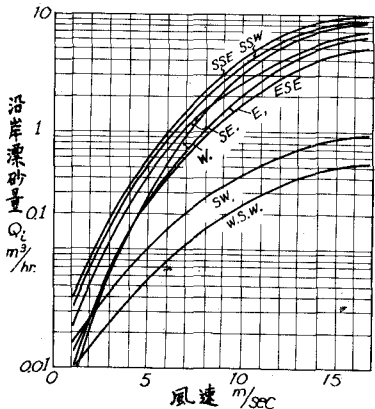


図-12 増水における各風向別
風速と沿岸漂砂量の関係

- (8) Krumbein, W.C. ; *Shore Currents and Sand Movement on a Model Beach*, Beach Erosion Board, Tech. Memo, No.7, 1944, pp.1~44.
- (9). Johnson, J.W. ; *Sand Transport by Littoral Currents*, Proc. 5th. Hydraulics, Conf., Bull. 34, State Univ., Iowa, Studies in Eng., 1953, pp.89~109.
- (10). 楢木 亨 ; 宮津海岸の漂砂の特性について, 土木学会第12回年次学術講演会講演概要, 昭.32.6, pp.401~402.
- (11). Trask, P.D. ; *Source of Beach Sand at Santa Barbara as Indicated by Mineral Grain Studies*, Beach Erosion Board, Tech. Memo., No.28, 1952, pp. 1~24.
- (12). Caldwell, J.M. ; *Wave Action and Sand Movement near Anaheim Bay, California*, Beach Erosion Board. Tech..Memo., No.68, 1956.
- (13). Watts, G.M. ; *A Study of Sand Movement at South Lake Worth Inlet, Florida*, Beach Erosion Board, Tech. Memo., No.42, 1953, pp.1~36.